Մեխանիկա

XLI, Nº 6, 1988

Механика

УДК 624.012.042

РАСЧЕТ ПЛОСКИХ ФУНДАМЕНТНЫХ КОНСТРУКЦИИ С ПОМОЩЬЮ ОБОБЩЕННОЙ МОДЕЛИ ОСНОВАНИЯ

петросян л г.

В [1] рассмотрена линебная модель неоднородного упругого основания, описываемая ядром (функцией вляяния)

$$K(r) = \frac{6}{(2\pi V r^2 + s^2)^{1-r}}$$
(1)

где θ —некоторая физическая постоянияя, и частности, она может быть принята по аналогии с однородным основанием в виде $\theta = 2E_0^{-1}(1-\sigma)$; $r = V (x-x_1)^2 + (y-y_1)^3$; x_1, y_1, y_2 — координаты точки наб подения и точки приложени с инивичной сосредоточенной силы; ϵ_1, ν —дараметры модели; F_0, ϵ_2 модуль упругости и коэффиниент Пуассона.

Отличительной особенностью предлигаемой модели упругого основания, ядро которой объединяет свойства ядра модели неоднородного основания Γ . К. Клейна и одного из рассмотренных в [2] ядер $K(r) - (r^2 + \epsilon^2)$ является ограниченное в перемещений основания на всей его новерхности, включая точку приложения силы возможность однозначного вычисления этих перемещении и скачков перемещений на поверхности основания. Это позволяет решать, в частности, задачи о свободно лежащих неизолированных (из терминологии Б. Γ Коренева [2]) конструкциях на упругом основании.

В настоящей статье дается вывол идра предласаемой модели для моского случая и рассматривается задача о расчете двух полубесконечных неизолированных балок на упругом основании

Как известно [2, 3], ядро произвольной линейной симметричной нодели упругого основания может быть представлено в виде интеграла Фурье-Бесселя

$$K(r) = \frac{\theta}{2} \int_{0}^{\infty} h(t) f_{t}(rt) dt \tag{2}$$

гае / (r) - цилиндрическая функция первого рода h(/)—плотность ядри. Из обращения (2) следует

$$h(t) = 2\pi t \int_{0}^{\infty} rK_{0}(r) I_{0}(rt) dr$$
 (3)

В случае плоской задачи ядро модели представить четов функцию h(t) по формуле [3]

$$K(|x-s|) = \frac{b}{a} \int_{0}^{a(t)} \cos t(x-s) dt$$
 (4)

В [1] для функцін h(t) волучена следующая формула:

$$h(t) = \frac{1}{1 - \Gamma(x)} K(\varepsilon t)$$
 (5)

где $= \frac{1}{2}$: $3 = \frac{1-\gamma}{2}$; $K_3(2\ell) = \phi$ ункции Макдональда.

Для получения ядра K(x-s)=K(|x-s|)=K(y) необходимо вычислить интеграл

$$K(y) = \frac{g_{\varepsilon}(t)}{2^{(-s)}\pi^{s}\Gamma(x)} \int_{0}^{t} t^{-s}K_{s}(st)\cos tydt$$
 (6)

Использун формулу 6.699.12 [4], справедливую при Re > 0, y > 0, Re > -1/2, находим

$$K(y) = \frac{A_{v}}{(y^{2} + \epsilon^{2})^{n/2}} \tag{7}$$

Здесь

$$A_{\cdot} = \frac{\theta \Gamma(\nu/2)}{2^{\nu+1}\pi^{\nu-1/2}\Gamma(\frac{1+\nu}{2})}$$

Г—гамма-функция. Ядро (7). как видим, имеет достаточно простой вид и при конечных и, а не имеет особенностей на всей полуоси 0 ≤ у <∞. Функция илияния, определяемая формулой (7) с механической гочки зрения достаточно обоснована. Она имеет конечное значение

$$K(0) = A_{\infty} \tag{8}$$

н в точке приложения силы стремится к нулю на бесконечности, что вполне соответствует инженерным представлениям о работе упругого основания, в отличие, например, от молели упругой однородной полуплоскости, ядро которой имеет вид

$$K(y) = \frac{1}{\pi} \ln \frac{1}{|y|} + C \tag{9}$$

гле С-произвольная постоянная.

Полагая $v \rightarrow 0$, $v \rightarrow 2$ и $\varepsilon \rightarrow 0$, мы можем придти к четырем указанным выше ядрам: Г. К. Клейна ($\varepsilon \rightarrow 0$), Б. Г. Коренева ($v \rightarrow 0$), упругой изотролной полуплоскости ($v \rightarrow 0$, $\varepsilon \rightarrow 0$), винклеровского основания ($v \rightarrow 2$, $\varepsilon \rightarrow 0$). Однако осуществить непосредственный предельный пере-

кол в формуле (9) нельзя, так как при этом нарушаются условия сходимости интеграла (6). Чтобы обойти эту трудность, найдем производную ядра—угол наклона поверхности основания

$$K'(y) = -\frac{\theta e^{\beta}}{2 - \pi \cdot \Gamma(\alpha)} \int_{0}^{\infty} t^{1-\epsilon} K_{\beta}(\epsilon t) \sin t y dt \tag{10}$$

Этот интеграл вычисляется с помощью формулы 6.699.11 [4]

$$\int_{0}^{\infty} x^{1} \cdot K_{*}(ax) \sin bx dx = V = (2a) \cdot \Gamma\left(\frac{3}{2} + v\right) b(b^{2} + a^{2})^{-\frac{1}{2}}$$
 (11)

есля учесть, что в силу определения функции Маклональда

$$K_{i}(z) = \frac{1}{2} \exp\left(\frac{1}{2}vi\right) H^{(1)}(iz) = \frac{1}{2} \exp\left(-\frac{1}{2}vi\right) H^{(1)}(iz)$$

где $H^{(1)}(iz)$ —функция Ханкеля первого рода, $K_{-}(z)=K_{-}(z)$ и положить в (11) v=-3, $a=\varepsilon$, b=y. Получим

$$K'(y) = -\frac{\theta \Gamma\left(\frac{3}{2} - 3\right)y(y^2 + z^2)^{-3/2}}{2^2\pi^{3/2}\Gamma(\alpha)}$$
(12)

Теперь можно осуществить предельные переходы; при у→0 имеем

$$K'(y) = -\frac{\theta y(y^2 + \varepsilon^2)^{-1}}{\pi} \tag{13}$$

Интегрируя (13), находим плоское ядрь, соответствующее ядру Б. Г. Коренева

$$K(y) = -\frac{1}{2} \ln \left(\frac{y}{2x^2 + 2x^2} \right) + C \tag{14}$$

и при $\epsilon \to 0$ приходим к ядру (9) для упругои влотронной полуплоскости. С тругой стороны, из (12) при $\epsilon \to 0$ имеем

$$K'(y) = -\frac{6\Gamma\left(1 + \frac{v}{2}\right)y^{-1 - v/2}}{2^{v}\pi^{v+1/2}\Gamma\left(\frac{1 + v}{2}\right)}$$
(15)

н после интегрирования

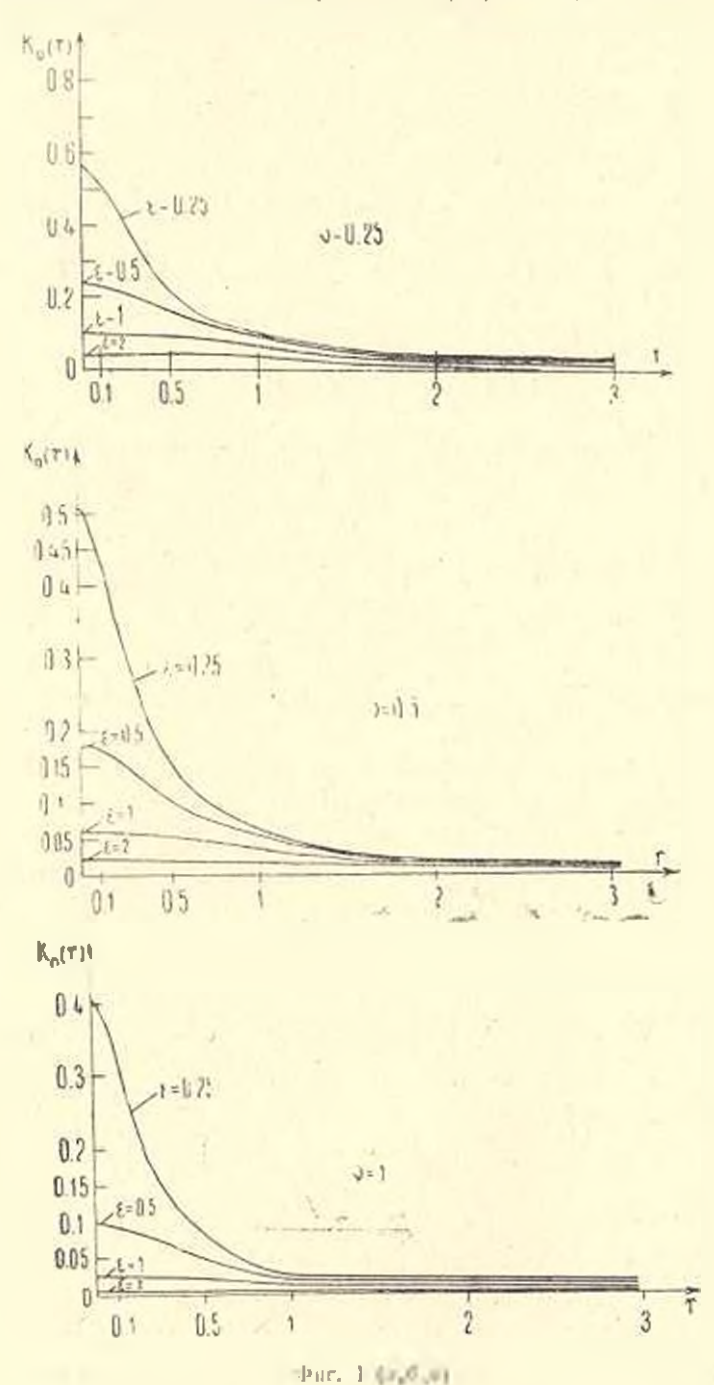
$$K(y) = \frac{6\Gamma\left(1 + \frac{v}{2}\right)}{2^{\nu}\pi^{\nu+1/2}\nu\Gamma\left(\frac{1+\nu}{2}\right)y^{\nu}} + C$$
(16)

Из условия на бесконечности при $v \neq 0$ получаем C = 0. Ядро (16) соответствует упругой получлоскости с модулем упругости, изменяю-

щимся с глубиной по степенному закону Предельный переход от (16) к (9) осуществляется с номощью формулы [3]:

$$\lim_{x \to 0} \frac{1}{x} \left(\frac{1}{|y|^x} - 1 \right) = \ln \frac{1}{|y|}$$

Таким образом, из ядра (7) с помощью указанных предельных овераций могут быть получены ядра (14), (16) и (9), соответствующие

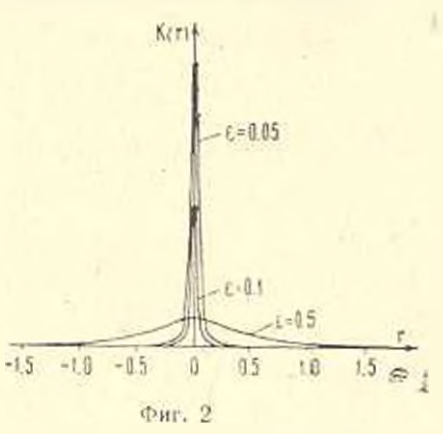


известным моделям. Отметим, что ядра (14) рансе в латературе не рассматривалось. На фиг 1 а, б, в приведены графики функции влияния для предлагаемся модели при различных значениях у и є. Вопрос о выборе этих нараметров должен решаться с учетом реальных свойств грунтового основания. В частности, если могут быть получены экспериментальные данные о функции влияния с номощью штамповых испытаний, то определение параметров у, є можно осуществить метолом наименьших квадратов, используя аппроксимацию экспериментального ядра функцыей (1). Важной особенностью рассматриваемой модели является возможность адэкватного опысания свойств грунтов, как с хорошими распределительными свойствами, так и грунтов с быстрозатухающими вне нагруженной площади осадками, обычно опи-

сываемыми моделями винклеровского типа. Так, если положить As -/ - const и учесть, что

$$\frac{1}{\pi} \lim_{s \to 0} \frac{s}{y^2 + s^2} = \delta(x)$$

то вместо (7) мы придем к ядру, солержащему дельта-функцию, что характерно для дискретных моделей. На фиг. 2 приведены графики ядра основания при $A.\epsilon^{-3/2} = \text{const}$ для $\gamma = 2$ и различных значений параметра ϵ . Объеди-



няя в себс свойства различных моделей (однородных, неоднородных, непрерывных и дискретных), предлагаемое ядро не только нозволяет в рамках одного алгоритма охватить решение задач расчета конструкций на различных по своим механическим свойствам основаниях, но и дает нозможность избежать трудности математического характера, присущие, например, моделям однородной и неоднородной полуплоскости, возникающие из-за наличия неинтегрируемых особенностей и бесконечных неремещений. В частности, для таких моделей невозможно получить решение задач о неизолированных конструкциях со свободными краями. Покажем на примерс плоской задачи, что рассматриваемая модель дает нозможность решать такого рода задачи.

Пусть две полубесковечные балки, лежащие на основании с ядром (7), смыкаются своими свободными концами. Уравнения равновесия балок имеют вид

$$Efy^{(1)}(x) = q(x) - p(x) \qquad (-\infty < x < \infty)$$

$$\int p(x_1) \mathcal{K}(|x - x_1|) dx_1 = y(x)$$
(17)

Здесь EJ—жестность балки; q, p—внешияя нагрузка и контактное давление; y(x)—перемещение балки. Граничные условия, соответствующие свободным концам балок, имеют вид:

$$y'(-0) = y'''(-0) = 0 (18)$$

Перейдем в (17) к преобразованиям Фурье по координате x, для чего умножим левую и правую части обоих уравнений на $(2\pi)^{-1/2} \exp(i \pi x)$ и проинтегрируем по всей оси. Питегрирование по частям с учетом (18) дает

$$EJ^{\mathfrak{g}_{1}}y_{1} + \frac{1}{\sqrt{2\pi}} [\mathfrak{F}^{\mathfrak{g}}A - i\mathfrak{F}^{\mathfrak{g}}B] = q_{\mathfrak{g}} - p_{\mathfrak{g}}$$

$$\frac{1}{\sqrt{2\pi}} \int \int \rho(x_{1})K(|x - x_{1}|) \exp(i\xi x) dx_{1} dx = y_{1}$$
(19)

Здесь индексом $\frac{1}{4}$ обозначены преобразования Фурье соответствующих функций; $A = 2\left[\frac{dy}{dx}(0)\right]; \quad B = 2[y(0)]; \quad \Delta$ —сказок функции. По-лагая в интегральном уравнении (19) x = x, = z, находим

$$V \overline{2\pi} p_i K_i = \mathbf{v}$$
 (20)

Вычисление преобразования Фурье ядра основания может быть выполнено с помощью формулы (4). Так как ядро—четная функция, то

$$K_1 = \sqrt{\frac{2}{z}} \int_0^z K(z) \cos z dz$$

и сравнение с (1) дает

$$K = V^{\frac{-\pi}{2}} \frac{\theta h(\xi)}{\xi} \tag{21}$$

Как видим, K_0 и $i^{-1}h(i)$ — четные функции аргумента i. 113 (19) и (20) получаем

$$y_i = \frac{q_1 - (2\pi)^{-1/2} [\xi^2 A - i\xi^2 B]}{\mathcal{E}J\xi^4 + \xi[\pi^5 h(\xi)]^{-1}}$$
(22)

Перемещение балки можем получить из формуле обращения преобразования Фурье, при этом учтем, что знаменатель в (22)—четная функция

$$y(x) = y_0(x) - AF_1(x) + BF_2(x)$$
 (23)

где

$$F_{3}(x) = \frac{1}{\pi} \left\{ \frac{i\cos\xi x d\xi}{EJz^{3} + \left[-ihh(\xi)\right]^{-1}}; \ F_{2}(x) = \frac{1}{\pi} \int_{0}^{\xi^{2}} \frac{\xi^{2}\sin\xi x d\xi}{izJ\xi^{3} + \left[\pi hh(\xi)\right]^{-1}} \right.$$
$$y_{c}(x) = \frac{1}{1\sqrt{2\pi}} \left[\frac{q_{2}\exp(-i\xi x) dz}{EJ\xi^{4} + \left[\pi hh(\xi)\right]^{-1}} \right]$$

Подставляя далее (23) в граничные условия (18), волучаем выражение для определения пеизвестных скачков $A,\ B$

$$A = -\pi E J y_{a}(0) F_{3}^{-1}, B = \pi E J y_{a}(0) F^{-1}$$

где

$$F_3 = \int_0^1 \frac{\mathbb{P} d^{\frac{1}{2}}}{\xi^3 + [\theta_1 h(\xi)]^{-3}}; \quad F_4 = \int_0^1 \frac{\mathbb{P} d^{\frac{1}{2}}}{\xi^3 + [\theta_1 h(\xi)]^{-1}}; \quad \theta_1 = \pm \theta EI$$

Следует отметить, что при использовании известных моделей, обладающих распределительными своиствами, интегралы в (24) были бы расходящимися, так что дальнейшие вычисления оказались бы пенозможными. Благодаря паличию цвух регуляризующих нараметров эти трудности при использовании рассматриваемов модели легко обходятся.

После определения неизвестных А. В перемещения балки могут быть вычислены по формулам (23), а угол поворота и силовые факторы путом ее спответствующего дифференцирования.

Рассмотрим в качестве примера решение задачи о действии двух кососимметричных сил (фиг. 3) на пензолированные полубесконечные балки со свободными концами, дежащие на основании, характеризующемся следующими значениями параметров: $0 = 5 \cdot 10^{-6} \text{ м}^2 \text{ H}$; $0_1 = 50 \text{ м}$; 0 = 0.01 м; 0 = 0.01 м;

CALCULUS OF PLANE FOUNDATION CONSTRUCTIONS BY MEANS OF GENERALISED MODEL OF BASE

L. G. PETROSIAN

ՀԱՔԹ ՀԻՄՔԱՏԻՆ ԿԱՌՈՒՑՎԱԾՔՆԵՐԻ ՀԱՇՎԱՐԿԸ ՀԻՄՔԻ ԸՆԳՀԱՆՐԱՑՎԱԾ ՄՈԴԵԼԻ ՕԳՆՈՒԹՑԱՄՐ

է. Գ. ՊիջբոնձևՆ

Ամփոփում

Ստացված է տոտծղական հիմբի ընդհանրացված մողելի միջուկի դուրս բերումը շարի դեպքի համար, և որպես օրինակ դիտարկված է տոտծղական փորի վրա դրված երկու չմեկուսացված կիստանվերջ հեծանների հաշվարկի ինդիրը։

ЛИТЕРАТУРА

- 1. Цейтмин Л. И., Петроски Л. Г. Методы граничных элементов и строительной мехапихе.-Ереван, «Луйс», 1987.
- 2. Коренев В. Г. Вопросы расчета балок и плит на упругом основания -- М.: Го:стройнадат, 1954
- 3. Попов Г. Я. Контактиме тальян для линейно деформируемого основания --
- Киев Одесса: Виши школа, 1982 4. Градштейн Н. С., Рыжик И. М. Таблицы интегралов, сумм, рядов и произведений. М.: Физнатгиз, 1962.

Ерепанский политехнический институт ни. К. Маркса

> .Поступила в редакцию 30.XI.1987